

مدل دو بعدی توزیع آلدگی در رودخانه‌ها در سیستم منحنی الخط

میرصادق جمالی (دانشجو)
دانشکده‌ی مهندسی عمران، دانشگاه صنعتی شریف

نوشتار حاضر اختصاص دارد به معرفی نرم افزار PDM^۲، که مدلی دو بعدی از توزیع آلدگی در رودخانه‌های دارای هندسه متغیر است. نرم افزار PDM^۲ از قابلیت‌های گوناگونی شامل مدل سازی رودخانه با عرض، عمق و مسیر متغیر، تولید شیکه و آماده‌سازی داده‌های اولیه و پردازش نتایج خروجی برای نمایش گرافیکی برخوردار است. فرمول بندی مدل در مختصات منحنی الخط^۱ بوده و معادله‌ی دو بعدی جابه‌جایی/انتشار حاکم با استفاده از روش تقاضلهای محدود حل می‌شود. گسسته‌سازی معادله‌ی حاکم دارای دقت درجه ۲ در زمان و مکان بوده و به طور غیرمشروط پایدار است. با توجه به عدم اطلاع کافی ما نسبت به فیزیک مسئله‌ی اختلاط^۲ و خطاهای زیادی که در روابط پیشنهادی وجود دارند، در مدل از فرضیات ساده‌گشته‌بی استفاده شده است که به نحو قابل توجهی حجم داده‌های ورودی را کاهش می‌دهد. تحلیل توزیع آلدگی در نرم افزار به صورت غیردانئی صورت می‌پذیرد ولی جریان رودخانه دائمی فرض می‌شود. در این نوشتار، فرمول بندی و ساختار نرم افزار به همراه نمونه‌ی از کاربرد آن ارائه می‌شود.

حمل رسوب و کیفیت آب را در دو و سه بعد دارد. شبکه‌بندی در سیستم منحنی الخط تعريف می‌شود و از این جهت امکان شبیه‌سازی مرز با دقت مناسب وجود دارد.

نوشتار حاضر اختصاص دارد به معرفی مدل PDM^۲ که مدلی است دو بعدی از توزیع آلدگی در رودخانه‌های دارای هندسه متغیر. نرم افزار به زبان فورترن^۵ تهیه شده است^[۲] و برای حل عددی معادله‌ی دو بعدی جابه‌جایی/انتشار^۶ در محیط رودخانه‌ی به کار می‌رود. آلدگی از نوع اختلاط‌پذیر^۷ با آب فرض می‌شود. فرمول بندی نرم افزار در دستگاه مختصات منحنی الخط است. جریان رودخانه دائمی فرض می‌شود ولی تحلیل توزیع آلدگی در نرم افزار به صورت غیردانئی صورت می‌پذیرد. داده‌های هیدرودینامیکی مورد نیاز نرم افزار شامل عرض و عمق جریان در طول مسیر رودخانه و دبی رودخانه است که ممکن است در طول مسیر رودخانه متغیر باشند. عمق رودخانه نیز در عرض ثابت فرض می‌شود. نرم افزار سرعت متوسط در مقطع رودخانه را در نقاط مختلف مسیر بر مبنای این داده‌ها محاسبه می‌کند و با استفاده از الگوی توزیع سرعتی که توسط کاربر مشخص می‌شود، توزیع سرعت در عرض رودخانه را در هر نقطه از مسیر رودخانه بدست می‌آورد. نرم افزار از مؤلفه‌ی عرضی سرعت صرف نظر می‌کند. در ادامه، علل استفاده از یک دستگاه مختصات منحنی الخط و فرضیات انجام شده در تهیی این نرم افزار مورد بحث قرار می‌گیرند.

در میان مدل‌های دو بعدی رودخانه‌یی، مدل‌های منحنی الخط اگرچه فرمول بندی‌شان در مقایسه با انواع مدل‌ها پیچیده‌تر است، از

مقدمه

مدل‌های مختلفی برای مدل سازی جریان و توزیع آلدگی در محیط‌های رودخانه‌یی و دریاچه توسط مؤسسات تحقیقاتی و تجاری دنیا تهیه شده که در کارهای تحقیقاتی و پژوهش‌های مهندسی کاربردی وسیع دارند، که اجمالاً به تعدادی از آنها اشاره می‌شود. سری مدل‌های تجاری MIKE توسط موسسه DHI دانمارک توسعه یافته است که از آن جمله می‌توان به مدل‌های MIKE^{۲۱} و MIKE^۳ اشاره کرد. مدل MIKE^{۲۱} سه بعدی است که از قابلیت شبیه‌سازی جریان و توزیع آلدگی برخوردارند. روش عددی مورد استفاده در نسخه‌ی جدید این دو مدل روش حجم محدود^۸ است. دو مدل دارای واسطه گرافیکی اند که از نقاط قوت آنها محسوب می‌شود. شبکه‌بندی را می‌توان به صورت نامنظم تعريف، و درنتیجه شرایط هندسی حاکم بر مسئله را با دقت مناسبی شبیه‌سازی کرد. تجربه‌ی مناسبی از کاربرد این دو مدل در داخل کشور وجود دارد. مدل‌های CH^۳D سه بعدی است که توسط اداره‌ی مهندسی ارتش آمریکا توسعه یافته و با به کارگیری روش اختلاف محدود در سیستم منحنی الخط، جریان، حمل رسوب (رسوبات بستر و معلق) و توزیع شوری و حرارت را شبیه‌سازی می‌کند. مدل TRISULA^[۱] یک مدل سه بعدی هیدرودینامیک و توزیع آلدگی است که توسط مؤسسه Delft Hydraulics بر مبنای روش‌های عددی تقاضله محدود و DELFT3D- حجم محدود تهیه شده است. این مدل اکنون به نام FLOW شناخته می‌شود و قابلیت شبیه‌سازی هیدرولیک جریان،

Tecplot بالای نرم افزار شامل صرفجوبی در زمان اجرا و حافظه مورد نیاز و ساده شدن معادله‌ی حاکم همراه با دقت بالا می‌شود. برای حل عددی معادله‌ی حاکم از الگوریتم کارآمد استفاده می‌شود که از دقت درجه ۲ در زمان و مکان، و پایداری غیرمشروط^{۱۰} برخوردار باشد.

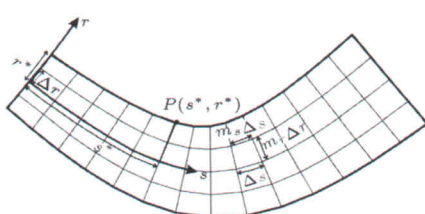
در قسمت‌های بعدی، با بحث پیرامون فرمول‌بندی مدل PDM۲ نسبت به تشریح مثال‌های حل شده اقدام می‌شود و سپس پیشنهاداتی برای پژوهش‌های آتی ارائه می‌شود.

مختصات منحنی الخط نرم افزار PDM۲

دستگاه مختصات $(s - r)$ منحنی الخط در شکل ۱ ارائه شده است. محور s منطبق بر محور میانی^{۱۱} رودخانه است و مرکز مختصات در مقطع ورودی رودخانه قرار دارد. در این دستگاه مختصات، خانواده خطوط با مقدار r ثابت (منحنی‌های طولی) بر خانواده خطوط با s ثابت (منحنی‌های عرضی^{۱۲}) عمودند. مختصات $*r$ و s^* نقطه‌ی دلخواه P از رودخانه مطابق شکل ۱ تعریف می‌شود. s^* عبارت است از فاصله‌ی مرکز مختصات تا محل تلاقی محور s با هر منحنی عرضی که از نقطه‌ی p می‌گذرد، و نیز r^* عبارت است از فاصله‌ی مرکز مختصات تا محل تلاقی محور r با هر منحنی طولی که از نقطه‌ی p می‌گذرد. در نرم افزار PDM۲ فرض می‌شود که دو کناره رودخانه بر دو منحنی طولی بالا و پایین منطبق است؛ یعنی $r = W_1/2$ و $r = -W_1/2$ که در آن، W_1 عرض رودخانه در مقطع ورودی رودخانه ($s = 0$) است.

فرمول‌بندی تولید شبکه در نرم افزار PDM۲

در نرم افزار PDM۲، با انجام عملیات برازندن منحنی^{۱۳} روی نقاط اولیه‌ی داده شده از مسیر رودخانه، هندسه و مسیر رودخانه به طور هموار تولید شده و سپس اقدام به تولید شبکه‌ی عددی در مختصات $(s - r)$ می‌شود. رودخانه‌ی شکل ۲ را در نظر بگیرید. نرم افزار برای تعیین هندسه‌ی مسئله، به مختصات (x, z) تعدادی از نقاط مسیر رودخانه نیاز دارد که توسط کاربر مشخص می‌شوند. این نقاط اولیه باید به‌گونه‌یی انتخاب شوند که مسیر رودخانه همراه با پیچ و خم‌های



شکل ۱. دستگاه مختصات (s, r) منحنی الخط.

قابلیت‌های بالاتری برای استفاده در مسائل رودخانه‌یی برخوردارند. به همین دلیل، این دستگاه مختصات مبنای کار نرم افزار PDM۲ قرار گرفت. از این جهت مدل حاضر و نرم افزار TRISULA^[۱] و CH3D^[۲] به هم شیشه‌اند.

مقدار حجم داده‌های ورودی مورد نیاز یک مدل سه‌بعدی، در مقایسه با مدل‌های دو بعدی، به طرز قابل ملاحظه‌یی بیشتر است و نیز اجرای این مدل‌های سه‌بعدی نیاز به هزینه و صرف وقت زیادی دارد. در یک رودخانه اختلاط آلوگی در جهت قائم معمولاً در فاصله‌ی کوتاهی از نقطه‌ی تخلیه کامل می‌شود و از این‌رو استفاده از یک مدل دو بعدی برای مناطق خارج از این محدوده کاملاً مطلوب و مفروض به صرفه است. نکته‌ی مهم دیگر که باید به آن توجه شود این است که لزوماً استفاده از مدل‌های پیچیده تحلیل توزیع آلوگی، به نتایج با دقت بالاتر منجر نمی‌شود. علت این امر عدم آگاهی کافی ما نسبت به فیزیک مسئله‌ی اختلاط و خطاهای زیادی است که در روابط پیشنهادی وجود دارند. روابط پیشنهادی برای ضرایب انتشار معمولاً به علت پراکندگی داده‌های آزمایشگاهی و صحرابی از خطاهای زیادی برخوردارند. مثلاً روابط معمول مورد استفاده در ضریب اختلاط عرضی در رودخانه ممکن است تا ۵۰٪ خطای داشته باشد و بالطبع تا زمانی که رابطه‌ی دقیق‌تری برای ضریب اختلاط عرضی – که مهم‌ترین فرایند اختلاط در رودخانه است – یافت نشود، صرف نظر از پیچیدگی^۳ مدل نتایج خروجی دقت بالایی ندارند و خطای تا حدود ۵۰٪ در نتایج خروجی امری غیرمعمول نیست.^[۴]

در تدوین نرم افزار PDM۲ سعی بر این بوده که اولاً با توجه به خطاهای موجود در روابط مورد استفاده مدل عددی فیزیک مسئله را به‌ نحو مطلوب مدل‌سازی کند، ثانیاً به‌منظور اجرای سریع مدل، آماده‌سازی داده‌های ورودی با سهولت انجام پذیرد. بدین‌منظور در نرم افزار PDM۲ از فرضیات ساده‌کننده‌یی استفاده شده است که تأثیر چندانی در خطاهای نتایج خروجی ندارند ولی به‌ نحو چشم‌گیری حجم داده‌های را کاهش می‌دهند. عمدت‌ترین این فرضیات عبارت‌اند از: ثابت بودن عمق رودخانه در عرض و چشم‌پوشی از جریانات عرضی، اثرات جریانات عرضی در روابط مربوط به ضریب اختلاط عرضی ملاحظه شده‌اند و معمول است که برای در نظر گرفتن اثرات بیشتر جریانات عرضی و ثانویه در خم‌ها، ضریب انتشار عرضی در خم‌ها افزایش داده شود. نرم افزار PDM۲ برای پذیرش رودخانه با جریانات عرضی و عمق متغیر در جهت عرض قابل گسترش است.

قابلیت‌های نرم افزار PDM۲ به اختصار عبارت‌اند از: استفاده از مختصات منحنی الخط، تولید شبکه‌ی اتوماتیک، سهولت آماده کردن داده‌های ورودی، استفاده از یک الگوریتم حل عددی کارآمد و امكان نمایش گرافیکی داده‌های ورودی و نتایج خروجی با کمک نرم افزار

حل عددی معادله انتشار - جابه جایی افقی^{۱۴} در مختصات منحنی الخط

معادله حاکم بر توزیع آلدگی رودخانه در دو بعد عبارت است از:

$$\frac{\partial C}{\partial t} + u \frac{\partial C}{\partial x} + w \frac{\partial C}{\partial z} = \frac{1}{h} \frac{\partial}{\partial x} \left(k_x h \frac{\partial C}{\partial x} \right) + \frac{1}{h} \frac{\partial}{\partial z} \left(k_z h \frac{\partial C}{\partial z} \right) \quad (1)$$

که در آن C غلظت میانگین حجمی مواد در عمق، w و u میانگین سرعت‌های افقی در عمق، h ارتفاع آب، k_x و k_z به ترتیب ضرایب انتشار طولی^{۱۵} و عرضی^{۱۶} اند. این معادله در مختصات منحنی الخط به صورت رابطه‌ی ۲ نوشته می‌شود:^[۱۷]

$$\frac{\partial C}{\partial t} + \frac{v_r}{m_r} \frac{\partial C}{\partial r} + \frac{v_s}{m_s} \frac{\partial C}{\partial s} = \frac{1}{h m_s m_r} \left[\frac{\partial}{\partial s} \left(\frac{m_r h k_s}{m_s} \frac{\partial C}{\partial s} \right) + \frac{\partial}{\partial r} \left(\frac{m_s h k_r}{m_r} \frac{\partial C}{\partial r} \right) + f(s, r, t) \right] \quad (2)$$

که در آن v_r و v_s مؤلفه‌های سرعت در هر نقطه از رودخانه در راستای خطوط عرضی و طولی مربوطه‌اند و پارامترهای هندسی m_r و m_s در شکل ۱ از طریق روابط ۳ محاسبه می‌شوند:

$$m_r = \frac{W}{W_1} \quad \text{و} \quad m_s = \frac{R - r(W/W_1)}{R} \quad (3)$$

که در آن W_1 عرض رودخانه در مقطع ورودی، W و R به ترتیب عرض و شعاع مسیر در مقطع مورد نظر، و r مختصه نقطه مزبور هستند. وقتی که در راستای s پیش رویم، مقدار R برای حالت تعقر بطرف بالا مشتبث و برای حالت تعقر به طرف پایین منفی فرض می‌شود. در رابطه‌ی ۲تابع $f(s, r, t)$ نشانگر مقدار حجم آلدگی ورودی بر واحد سطح رودخانه در واحد زمان نقطه (s, r) رودخانه است. مقادیر ضرایب انتشار ممکن است توسط نرم‌افزار و یا کاربر تعیین شوند. (روابط مربوطه قابل دستیابی اند.^[۱۸])

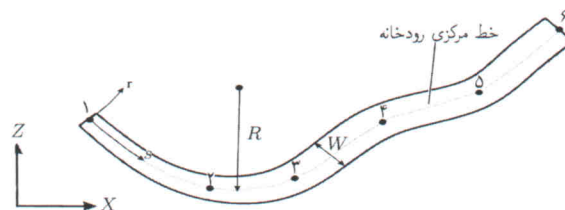
با توجه به اینکه جريان آب در داخل رودخانه دائمی فرض می‌شود و جريان رودخانه عمده‌اً در راستای محور طولی است، نرم‌افزار برای محاسبه v_r و v_s از روابط ۴ استفاده می‌کند:

$$v_r = 0, \quad v_s = \bar{u} \cdot p(r) \quad (4)$$

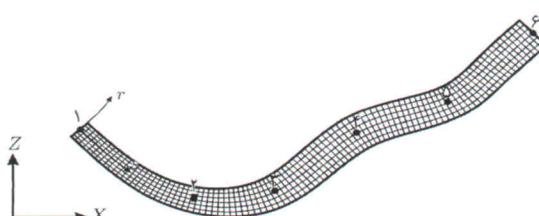
که در آن $\bar{u} = Q/(Wh)$ سرعت میانگین در مقطع، Q دبی رودخانه و

$$p(r) = \frac{(a+b+1)!}{a!b!} \left(\frac{\xi}{W_1} \right)^a \left(1 - \frac{\xi}{W_1} \right)^b \quad (5)$$

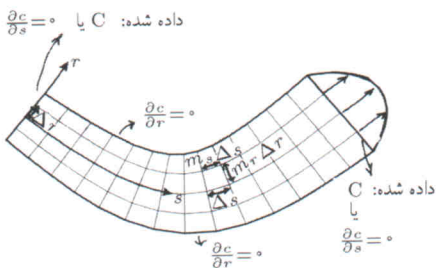
آن با دقت خوبی توسط این نقاط تقریب زده شوند. در شکل ۲ نقاط ۱ تا ۶ روی خط میانی رودخانه برای این منظور انتخاب شده‌اند. به همراه مختصات (x-z) نقاط انتخابی، عرض W ، عمق متوسط h ضریب انتشار طولی k_s و ضریب انتشار عرضی k_r در این مقاطع به صورت ورودی به نرم‌افزار داده می‌شود. با داشتن این نقاط نرم‌افزار با استفاده از منحنی‌های درون‌یابی اسپلین درجه ۳ هندسه رودخانه در تمام نقاط مسیر را درون‌یابی می‌کند. جزئیات تفضیلی برازand منحنی توسط منحنی‌های اسپلین در دسترس است.^[۱۹] براساس این بازش منحنی، شعاع مسیر R در هر نقطه از مسیر قابل محاسبه و تابعی پیوسته از s است. قابلیت محاسبه‌ی شعاع مسیر یکی از مزایای استفاده از درون‌یابی اسپلین درجه ۳ است. بعد از یافتن منحنی مسیر رودخانه (خط میانی رودخانه) عملیات درون‌یابی اسپلین درجه ۳ به طور مشابه روی متغیرهای k_s و k_r ، R ، h ، W و انجام می‌شود و بدین ترتیب مقدار این پارامترها در هر نقطه از مسیر رودخانه محاسبه می‌شود. در شکل ۳ خط میانی رودخانه ($r = o$) و عرض رودخانه براساس درون‌یابی مذکور محاسبه شده‌اند و چنان‌که مشاهده می‌شود بعد از انجام عملیات درون‌یابی هندسه به دست آمده از رودخانه هموار بوده و از نقاط ابتدایی ۱ الی ۶ نیز می‌گذرد. بعد از انجام عملیات درون‌یابی، نرم‌افزار براساس تعداد نقاط شبکه‌ی عددی در جهت r و s که توسط کاربر مشخص می‌شود، اقدام به تولید شبکه‌ی نقاط می‌کند. با فرض این‌که تعداد نقاط شبکه در جهت s مساوی با N باشد، تقسیم‌بندی محیط رودخانه در مختصات مجازی مساوی با M باشد، تقسیم‌بندی محیط رودخانه در مختصات r و $s - r$ منجر به یک شبکه‌بندی با $(1 - N)/(M - 1)$ طول رودخانه و $\Delta r = W_1/(M - 1)$ می‌شود. در شکل ۳، شبکه‌بندی نقاط به دست آمده از این روش برای رودخانه‌ی شکل ۲ نمایش داده شده است.



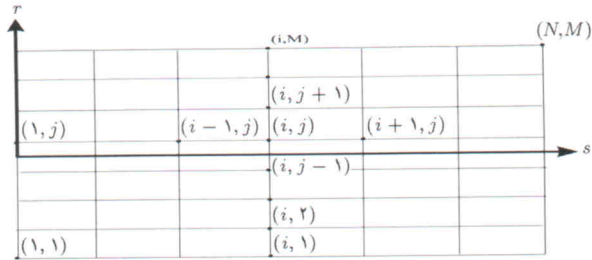
شکل ۲. رودخانه و نقاط اولیه برای تعریف مسیر.



شکل ۳. شبکه‌بندی رودخانه.



شکل ۵. پارامترهای هندسی و شرایط مرزی در مختصات منحنی الخط.



شکل ۶. شماره‌گذاری نقاط در دستگاه مختصات $s - r$.

و اپراتورهای L_{ss} و L_{rr} عبارت اند از:

$$L_{rr} [C_{i,j}^n] = \frac{(v_r)_{i,j}}{(m_r)_{i,j}} \frac{C_{i,j+1}^n - C_{i,j-1}^n}{2\Delta r} - \frac{1}{(hm_s m_r)_{i,j}} \left[\left(\frac{m_s h k_r}{m_r} \right)_{i,j} \frac{C_{i,j+1}^n - 2C_{i,j}^n + C_{i,j-1}^n}{\Delta r^2} + \left(\frac{m_s h k_r}{m_r} \right)_{i,j+1} - \left(\frac{m_s h k_r}{m_r} \right)_{i,j-1} \frac{C_{i,j+1}^n - C_{i,j-1}^n}{2\Delta r} \right] \quad (10)$$

$$L_{ss} [C_{i,j}^n] = \left(\frac{v_s}{m_s} \right)_{i,j} \frac{C_{i+1,j}^n - C_{i-1,j}^n}{2\Delta s} - \frac{1}{(hm_s m_r)_{i,j}} \left[\left(\frac{m_r h k_s}{m_s} \right)_{i,j} \frac{C_{i+1,j}^n - 2C_{i,j}^n + C_{i-1,j}^n}{\Delta s^2} + \left(\frac{m_r h k_s}{m_s} \right)_{i+1,j} - \left(\frac{m_r h k_s}{m_s} \right)_{i-1,j} \frac{C_{i+1,j}^n - C_{i-1,j}^n}{2\Delta s} \right] \quad (11)$$

چنان‌که در شکل ۶ نمایش داده شده، در گسترش‌سازی معادله انتشار - جابه‌جایی افقی در نقطه‌ی (i, j) چهار نقطه‌ی مجاور نقطه‌ی مزبور نیز در معادله‌ی گسترشی حاصل ظاهر می‌شوند. نوشتن معادله‌ی گسترشی شماره‌ی ۹ برای بقیه گره‌ها منجر به یک دستگاه معادلات خطی می‌شود که در آن مقدار $C_{i,j}^{n+1}$ ‌ها (غلظت در زمان $n+1$) مجهولات مسئله را تشکیل می‌دهند. ماتریس ضرایب این دستگاه معادلات بسیار

در رابطه‌ی $\frac{\partial c}{\partial s} = r + W_1/2$ و پارامترهای a و b اعداد صحیح غیر صفرند که توسط کاربر مشخص می‌شوند. با تغییر اعداد a و b ، توزیع‌های سرعت متنوعی به دست می‌آید. شکل ۴ توزیع سرعت بهازای a و b به های مختلف را به نمایش می‌گذارد.

ترتیب متناظر با توزیع سرعت یکنواخت و سهمی شکل‌اند. توزیع سرعت مشخص شده برای تمام مسیر رودخانه یکسان در نظر گرفته می‌شود.

معادله‌ی ۲ تحت شرایط اولیه و مرزی مناسب قابل حل است.

شرط اولیه عبارت است از توزیع C در رودخانه در کناره‌ها عبارت است از:

$$\frac{\partial C}{\partial r} = 0 : r = \pm \frac{W_1}{2} \quad \text{روی} \quad (6)$$

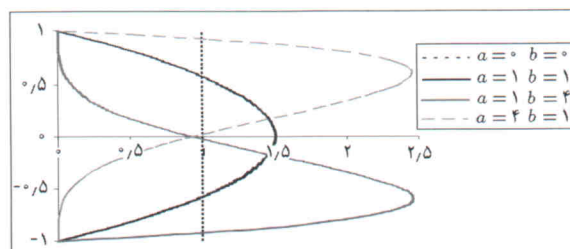
و ممکن است در دو مقطع ابتدایی و انتهایی رودخانه شرط مرزی به یکی از دو صورت

$$C(r) = \bar{C}(r) \quad \text{شرط مرزی دیریکله} \quad (7)$$

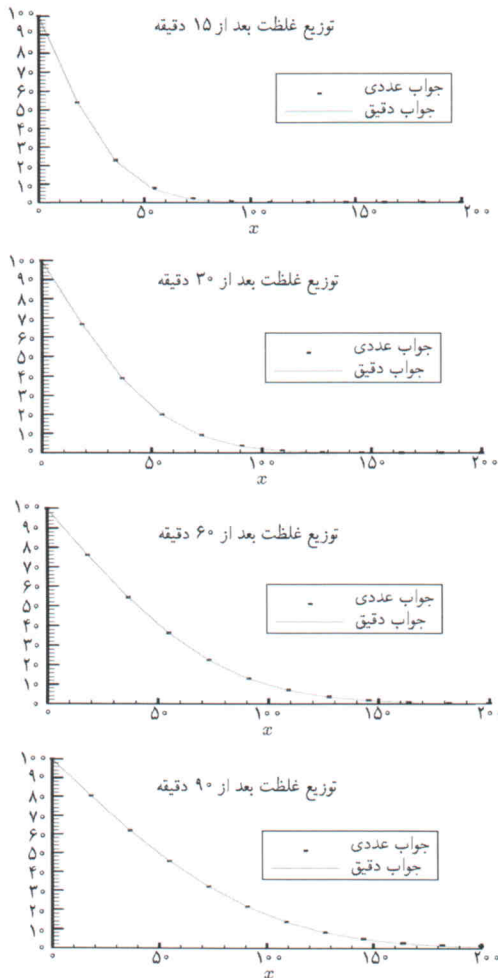
$$\frac{\partial C}{\partial s} = 0 \quad \text{شرط مرزی نویمان} \quad (8)$$

باشد. توصیه می‌شود شرط مرزی در بالا دست رودخانه به صورت رابطه‌ی (7) باشد. در پایین دست رودخانه از شرط ۸ نیز می‌توان استفاده کرد. این شرط مرزی در شکل ۵ نمایش داده شده‌اند. برای گسترش‌سازی عددی معادله‌ی ۲ و شرط مرزی مربوطه از روش کرنک - نیکلسون^{۱۸} که دارای دقت درجه ۲ در زمان و مکان است و به طور غیرمشروط پایدار است استفاده می‌شود. گسترش‌سازی معادله‌ی ۲ براساس روش مذکور به معادله‌ی تفاضل محدود^۹ منجر می‌شود که در آن $C_{i,j}^n$ ، غلظت در گره (i,j) در گام زمانی n است (شکل ۶).

$$\begin{aligned} & \frac{C_{i,j}^{n+1} - C_{i,j}^n}{\Delta t} + \frac{1}{4} L_{rr} [C_{i,j}^{n+1}] + \frac{1}{4} L_{ss} [C_{i,j}^{n+1}] \\ & + \frac{1}{4} L_{rr} [C_{i,j}^n] + \frac{1}{4} L_{ss} [C_{i,j}^n] = \\ & \frac{1}{2(hm_s m_r)_{i,j}} (f_{i,j}^{n+1} + f_{i,j}^n) \end{aligned} \quad (9)$$



شکل ۴. توزیع سرعت بهازای a و b های مختلف.



شکل ۸. مقایسه نتایج عددی با جواب تحلیل در مثال ۱.

زمان‌های مختلف شبیه‌سازی مقایسه می‌کند. چنان‌که مشاهده می‌شود، نتایج عددی با دقت بالایی بر جواب تحلیلی منطبق‌اند.

مسئله‌ی نمونه

این مثال برای آشنایی بیشتر با فایل‌های ورودی و همچنین با قابلیت‌های نرم‌افزار طرح می‌شود. رودخانهٔ فرضی شکل ۹ را در نظر بگیرید. مقطع این رودخانه متغیر است و دبی $m^3/s = 10$ از آن عبور می‌کند. ضرایب پراکندگی k_r و k_s در طول رودخانه ثابت و به ترتیب مساوی با $4m^2/s$ و $1m^2/s$ فرض می‌شوند. لازم به تذکر است که ضریب پراکندگی عرضی معمولاً در خم‌های رودخانه‌ی افزایش می‌یابد، ولی برای این مسئله، که صرفاً جنبه‌ی آشنایی با نرم‌افزار دارد، از این اثرات صرف نظر می‌شود. برای تعریف مسیر رودخانه از نقطه استفاده می‌شود و توزیع سرعت در مقطع رودخانه سهمی در نظر گرفته می‌شود.

برای تولید شبکه فرض می‌شود که طول رودخانه دارای 60° گره

تُک 1° (کمپشت) است؛ به عبارت دیگر، ماتریس ضرایب آن مؤلفه‌های صفر زیادی دارد و مؤلفه‌های غیر صفر آن از قطر اصلی ماتریس فاصله‌ی زیادی دارند. در نرم‌افزار PDM برای حل دستگاه معادلات مذکور، از روش کارآمد جداسازی دومرحله‌ی 2° استفاده می‌شود.^[۷] که جزئیات حل آن توسط این روش در برخی منابع در دسترس است.^[۲]

صححت‌سنجی مدل

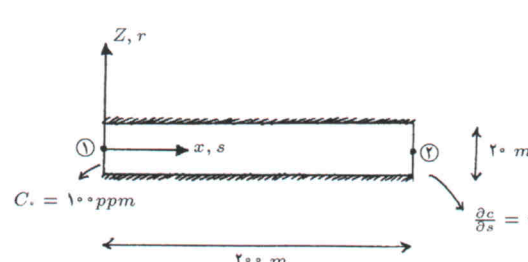
رودخانه‌ی شکل ۷ را در نظر بگیرید که جریانی در آن وجود ندارد. در ابتدای شبیه‌سازی، در طول 200 متری رودخانه آلدگی وجود ندارد ولی بعد از آن از مرز چپ رودخانه آلدگی به داخل رودخانه نشست می‌یابد. درکل زمان شبیه‌سازی که مدت 2 ساعت است، غلظت آلدگی در مرز سمت چپ به طور ثابت 100 ppm است. مقطع رودخانه یکنواخت و به عمق متوسط 5 m است. ضرایب k_r و k_s در طول رودخانه ثابت و مساوی $5 \text{ m}^2/\text{s}$ فرض می‌شوند. با توجه به تقارن مسئله حول محور x ، انتظار می‌رود جواب مسئله تنها تابعی از x باشد. توزیع سرعت در مقطع رودخانه سهمی فرض می‌شود و بنابراین $a = b = 1$.

چنان‌که از شکل برمی‌آید، دستگاه‌های $-z$ و $s - r$ بر هم منطبق‌اند. برای تعریف مسیر رودخانه تنها از دونقطه‌ی ابتدایی و انتهایی رودخانه استفاده می‌شود. با توجه به عدم آگاهی از مقدار C در مرز راست، شرط مرزی $\partial C / \partial s = 0$ برای آن فرض می‌شود. همچنین برای انجام شبکه‌بندی، محیط رودخانه به 11 قسمت در جهت طول و 3 قسمت در عرض تقسیم می‌شود.

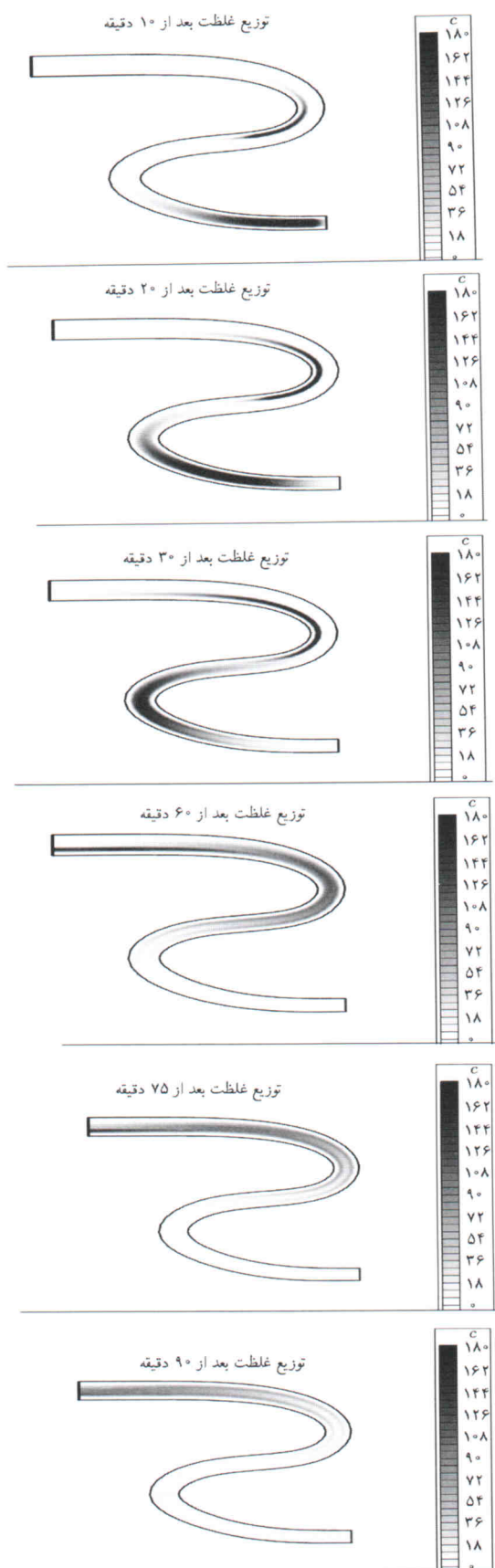
جواب تحلیلی مسئله عبارت است از:^[۲]

$$C(x) = C_0 \left(1 - \frac{2}{\sqrt{\pi}} \int_0^{x/\sqrt{4kt}} \exp(-\xi^2) d\xi \right) \quad (12)$$

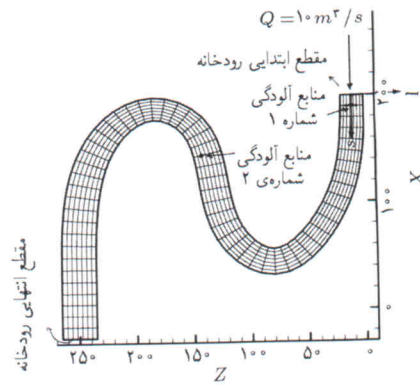
که در آن $k = k_s = k_p = 100 \text{ ppm}$ و $C_0 = 100 \text{ ppm}$ است. باید توجه داشت که جواب تحلیلی بالا برای شرط مرزی راست بی‌نهایت $= 0$ است و لی عملأً با توجه به مقدار اندازه غلظت مواد در مرز راست، این شرط مرزی با دقت بالا متناظر با شرط مرزی واقعی $\partial C / \partial x = 0$ است. گراف‌های نشان داده شده در شکل ۸ نتایج عددی را با جواب تحلیلی در



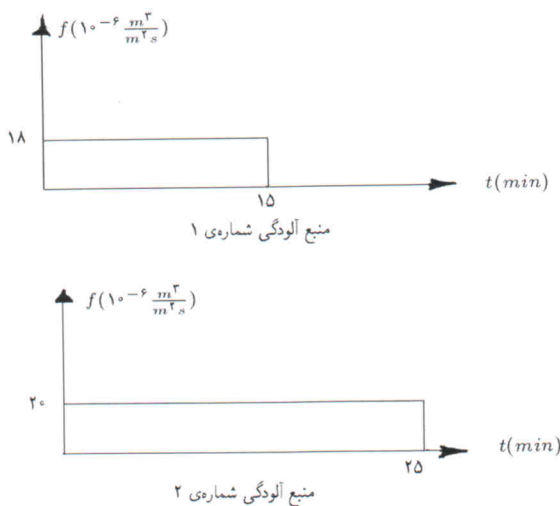
شکل ۷. نمای مسئله در مثال ۱.



شکل ۱۱. تغییرات توزیع آلودگی با زمان در مثال ۲.



شکل ۹. نمای رودخانه و شبکه‌بندی در مسئله ۲.



شکل ۱۰. تغییرات ورود آلودگی در نقاط ۱ و ۲ در مسئله ۲

و عرض آن دارای ۸ گره است. شبکه‌بندی تولیدشده توسط نرم‌افزار در شکل ۹ نشان داده شده است، و چنان‌که ملاحظه می‌شود خطوط طولی و عرضی تولید شده بر هم عمودند. در زمان شروع شبیه‌سازی چنین فرض می‌شود که سیستم فاقد هر نوع آلودگی است. شرط مرزی در مقطع ابتدایی $C = 0$ و در مقطع انتهایی $\partial C / \partial s = 0$ فرض می‌شود. محورهای مختصات $s - r$ نیز در شکل ۷ نشان داده شده‌اند. همچنین فرض می‌شود که منابع آلودگی در دو نقطه از رودخانه به صورت مقطعی آلودگی وارد رودخانه می‌کند. تغییرات ورود آلودگی (مقدار f در هر گروه) از هر منع مطابق شکل ۱۰ فرض می‌شود، و شبیه‌سازی برای مدت ۱۵۰ دقیقه از زمان $t = 0$ انجام می‌پذیرد.

نتایج خروجی تحلیل عددی با کمک نرم‌افزار Tecplot به صورت گرافیکی در شکل ۱۱ نشان داده شده‌اند. در این شکل توزیع غلظت در رودخانه در زمان‌های $0', 5', 10', 20', 30', 60'$ و $90'$ نشان داده شده است. همان‌طور که مشاهده می‌شود، وجود توزیع سرعت غیر یکنواخت و اختلاط عرضی و طولی موجب پخش آلودگی در رودخانه شده است. همچنین در شکل دنباله‌یی از ابر

در روابط مورد استفاده وجود دارد، مدل عددی فیزیک مسئله را به نحو مطلوب مدل سازی کند و ثانیاً به منظور اجرای سریع مدل، آماده سازی داده های ورودی با سهولت انجام پذیرد. نرم افزار PDM ۲ قابل گسترش است. بدین منظور موارد زیر برای پژوهش های آتی پیشنهاد می شوند:

۱. تغییر نرم افزار برای پذیرش تغییرات عمق در عرض رودخانه.
۲. تغییر نرم افزار برای پذیرش توزیع سرعت دو بعدی در رودخانه دائمی یا غیر دائمی از یک مدل هیدرودینامیک دو بعدی.
۳. اضافه کردن مدل هیدرودینامیکی به مدل فعلی.
۴. بهبود روابط مورد استفاده در مدل برای ضرایب اختلاط براساس پژوهش های نو.

آلودگی، حتی پس از گذشت ۶۵ دقیقه از پایان تخلیه در داخل رودخانه، مشاهده می شود. وجود چنین دنباله هایی در مطالعات صحرایی تایید شده است.^[۸]

نتیجه گیری

در این نوشتار مراحل تهیه مدل دو بعدی پخش آلودگی PDM ۲ شرح داده شد. این مدل که برای تحلیل پخش آلودگی در رودخانه ها با هندسه ای متغیر تهیه شده است، دارای قابلیت های گوناگونی شامل مدل سازی رودخانه با عرض و عمق متغیر، تولید شبکه و آماده سازی داده های اولیه، و پردازش نتایج خروجی برای نمایش گرافیکی است. در تدوین نرم افزار PDM ۲ سعی بر این بوده که اولاً با توجه به خطاهایی که

پانوشت

1. curvilinear
2. advection-dispersion
3. mixing
4. finite volume
5. FORTRAN
6. advection-dispersion
7. miscible
8. sophistication
9. unconditionally stable
10. centerline
11. transverse curves
12. curve fitting
13. cubic Spline interpolation function
14. advection-diffusion
15. longitudinal dispersion coefficient
16. transverse dispersion coefficient
17. dirichlet boundary condition
18. Crank-Nicolson
19. sparse
20. two-stage sorting

منابع

1. Stelling, G. S., On The Construction of Computational Methods for Shallow Water Flow Problems, Rijkswaterstaat, Hague (1984).
2. جمالی، میرمصدق. «پخش پساب های آلاینده در رودخانه ها»، گزارش طرح پژوهش کاربردی شماره WRE۳-۷۸۴۳۳ سازمان مدیریت منابع آب، وزارت نیرو (۱۳۸۰).
3. Fischer, H. B., List, E. J., Koh, R. C. Y., Imberger, J. and Brooks, N. H., Mixing in Inland and Coastal Waters, Academic Press, New York (1979).
4. Numerical Recipes is Fortran, Cambridge University press, (1992).
5. Rutherford, J. C., River Mixing, John wiley & sons, England (1994).
6. Yotsukura, N., “Derivation of solute – transport equations for a turbulent natural – channel Flow”, *J. Research U.S. Geological Survey*, 5 (3), pp. 277-284 (1977).
7. Fletcher, C. A. J., Computational Techniques for fluid Dynamics, Springer-Verlag, Berlin (1988).
8. Hunt, B. “Dispersion model for mountain streams”. *J. Hydr. Engrg., ASCE*, 125 (2), pp.99-105 (1999).

